



Title	ハシリショウジョウバエにおける遺伝子組換え系統の確立
Author(s)	島田, 公夫
Citation	低温科学, 69, 151-155 生物進化研究のモデル生物群としてのショウジョウバエ. 北海道大学低温科学研究所編
Issue Date	2011-03-31
Doc URL	<a href="http://hdl.handle.net/2115/45199">http://hdl.handle.net/2115/45199</a>
Type	bulletin (article)
File Information	LTS69_017.pdf



[Instructions for use](#)

# ハシリショウジョウバエにおける 遺伝子組換え系統の確立

島田 公夫<sup>1),\*</sup>

2010年12月14日受付, 2010年12月20日受理

ハシリショウジョウバエの一種, *Chymomyza costata* は北半球の冷温帯と亜寒帯に広く分布し, ショウジョウバエ科の中では珍しく, 幼虫で休眠し越冬する. 幼虫休眠の誘導には短日が有効で, 札幌産では臨界日長が14時間付近にある. 臨界日長はどのように計られるのだろうか? 「光周反応の測時機構に概日時計が関わっている」という Bünning (1936) の仮説があり, この証明を目指して行った *C. costata* における遺伝子組換え実験の概要を紹介する. ターゲットにした遺伝子は *timeless* で, *piggyBac* と呼ばれるトランスポゾン由来の遺伝子組換えベクターを介して, *timeless* の強制発現系統やノックアウト系統を確立した.

## Establishment of transgenic lines in *Chymomyza costata*

Kimio Shimada<sup>1),\*</sup>

A drosophilid fly, *Chymomyza costata* is living in the cool temperate and subarctic zones of the Northern Hemisphere. This species enters winter diapause at the larval stage in contrast to most of other drosophilid species. Short-day photoperiods are effective for the induction of larval diapause. The critical photoperiod of a wild-type strain collected in Sapporo is about 14 hours. How is the length of day or night measured? Bünning (1936) has proposed a hypothesis that the photoperiodic time measurement system involves the circadian clock. To test this hypothesis, I prepared two transgenic lines of *C. costata*. In these lines, the expression of a circadian clock gene, *timeless*, was enhanced or inhibited with heat shock treatment. The germline transformation was mediated by a lepidopteran transposon, *piggyBac*.

### 1. はじめに

マエグロハシリショウジョウバエ *Chymomyza costata* (Zetterstedt, 1838) は, ショウジョウバエ科, ハシリショウジョウバエ属の昆虫で, 北半球の冷温帯と亜寒帯に広く分布する. 分布域は北極圏にも及び, 寒極の町として知られる東シベリアのベルホヤンスクでも採集されている. 寒冷地域に生息するショウジョウバエ科の多くの種が成虫で越冬するのに対して, このハシリショウジョウバエは3齢(終齢)幼虫で休眠し, 越冬する.

本種の幼虫休眠は, 光周反応によって誘導され, 短日が休眠の誘導に有効である. 分布域の南限に近い札幌

(北緯43度)産の個体群の臨界日長は, 15°Cで飼育した場合, 14時間付近にある (Riihimaa and Kimura, 1989). 臨界日長は緯度が高くなる程, 長くなる傾向があり, フィンランドのヴァルカウス (Varkaus, 北緯62度)産では19時間30分である (Riihimaa and Kimura, 1989). 一方, 光周反応を示さない非休眠系統も知られており, これは, 北海道大学苫小牧研究林 (北緯42度40分)で採集されたハエの子孫から交配実験によって選抜された (Riihimaa and Kimura, 1988).

*C. costata* における臨界日長の地理的変異や光周反応を示さない系統の存在は, 昆虫の光周反応を分子生物学的に解明するために重要である. 私はチェコの昆虫学研究所のKostalらとの共同研究によって, 光周反応を示す系統と示さない系統における概日時計遺伝子の発現状態を比較し, 光周反応を示さない非休眠系統では, 本来, 昼夜で振幅する *period* の発現が弱くなっていることを見出した (Kostal and Shimada, 2001). さらに, 光周反応を示さない系統では, *timeless* の発現が全く見られないことを突き止めた (Pavelka et al., 2003; Steh-

1) 北海道大学低温科学研究所

<sup>1</sup> Institute of Low Temperature Science, Hokkaido University, Sapporo, Japan

\* 現住所 〒004-0032 札幌市厚別区上野幌 2-4-2-7

\* Current address: Atsubetsu-ku, Kaminoppo 2-4-2-7, Sapporo 004-0032, Japan

lik et al., 2008). こうした事実は、光周反応、特に昼あるいは夜の長さを計る測時機構に概日時計が関わっているという Bünning の仮説を支持しているように見える。

しかし、概日時計遺伝子が光周反応に関わっていることを、もっと強力に証明するためには、光周反応を示さない系統で *timeless* を強制的に発現させて休眠性を回復させてみる必要がある。また、正常に光周反応を示す系統で *timeless* の発現をノックアウトして休眠性が失われることを確かめてみる必要がある。本報告では、こうした目的のためにトランスポゾン由来の遺伝子組換え用ベクターを用いて、*timeless* の強制発現系統とノックアウト系統を確立した方法を紹介する。

## 2. 材料と方法

### 2.1 遺伝子組換え実験に用いたショウジョウバエ

実験に用いたショウジョウバエは、札幌産（野生型）の *C. costata* と苫小牧産の同種の子孫から分離された光周反応を示さない非休眠系統である。札幌産のハエは 18°C16 時間明期の長日条件で、非休眠系統は 18°C10 時間明期の短日条件で、ともに、ドライイースト、コーンミール、麦芽を含む寒天培地で継代飼育した。

### 2.2 遺伝子組換え用ベクターの作成

目的の遺伝子を強制発現あるいはノックアウトするための遺伝子組換え用のベクターは、pBac{3xP3-EGFPafm} (Horn et al., 2000) を改変することによって構築した。このプラスミド型のベクターは、鱗翅目昆虫のイラクサギンウワバ *Trichoplusia ni* のトランスポゾンである *piggyBac* に、緑色蛍光蛋白質 (GFP) の DNA 配列を乗せ、pUC18 に組込んだものである。緑色蛍光蛋白質は、遺伝子組換えの成否を可視化するマーカーとして組込まれ、その発現は、3xP3 プロモーターに眼の発生に関わる転写因子の Pax-6/eyeless が結合することによって促進される。pBac{3xP3-EGFPafm} にはマルチクロニングサイトがあり、制限酵素の *AscI*, *FseI*, *BglII* によって切断される。この部位に目的の DNA 配列を挿入することができる。

*timeless* 遺伝子を強制発現させるためのベクター、pBac{EGFP-tim} は、pBac{3xP3-EGFPafm} の *AscI* サイトに *C. costata* の *timeless* cDNA をヒートショック蛋白質、*hsp70* のプロモーターとターミネーター (polyA 付加配列) の間に挟んで挿入したものである。まず、*timeless* cDNA (GenBank accession No. AB073724) の塩基配列番号 452-4522 の翻訳領域を逆転写 PCR (RT-PCR) 法によって増幅した。鋳型には *C. costata* の成虫頭部から抽出した総 RNA を用いた。プライマーの配列は、timF (5'-AAGCGCCGCATGGACTGGTTACTCGCAAC-3') (センス配列) と timR

(5'-AAGCGGCCGCTCAATGATAGTAGGGCACAC-3') (アンチセンス配列) で、ともに 5' 側に *NotI* で切断される配列が付加されている。PCR 産物を Wizard SV Gel and PCR Clean-Up System (Promega) で精製後、*NotI* で処理した。つぎに、*hsp70* のプロモーターとターミネーターの配列を持つ P 因子ベクター、pP{CaSpeR-hs} のマルチクロニングサイトを制限酵素の *NotI* で切断し、開いた部位に上記の PCR 産物を T4 リガーゼを用いて連結した。*timeless* cDNA の配列を含む pP{CaSpeR-hs} を DH5 $\alpha$  コンピテントセルに取込み、LB 寒天培地で培養した。増殖した pP{CaSpeR-hs} をアルカリ SDS 法で抽出・精製し、これを鋳型にして、*timeless* cDNA を組込んだ *hsp70* プロモーターからターミネーターまでの部分を PCR で増幅した。プライマーの配列は、hspF (5'-AAGGCGCGCCATCCCAAACAAACTGGTTA-3') と hspR (5'-AAGGCGCGCCTCCTGACCGTCCATCGCAAT-3') で、ともに 5' 側に *AscI* で切断される配列が付加されている。この PCR 産物を前述の Promega のキットで精製し、*AscI* で処理後、同じく *AscI* で処理された pBac{3xP3-EGFPafm} に連結した。こうして構築された pBac{EGFP-tim} を DH5 $\alpha$  に取込んで増殖し、Plasmid Mini Kit (Qiagen) で精製後、遺伝子組換え実験に用いた。

*timeless* 遺伝子をノックアウトするためのベクター、pBac{EGFP-timIR} は、pBac{EGFP-tim} の *timeless* cDNA 翻訳配列を逆向き反復配列に置換えたものである。まず、*timeless* cDNA (GenBank accession No. AB073724) の塩基配列番号 883-1214 の翻訳領域を、前述の総 RNA を鋳型にして、逆転写 PCR 法で増幅した。プライマーの配列は、timIRF (5'-AAGAATTCTCGGAGACCAAGCTATCACC-3') と timIRR (5'-AAGGCCGCGACAATGACGCCTCAAACC-3') で、それぞれ、5' 側に *EcoRI* あるいは *FseI* で切断される配列が付加されている。PCR 産物を精製後、*EcoRI* で処理し、消化物同士をリガーゼで連結して逆向き反復配列を作成した。つぎに、pP{CaSpeR-hs} の *hsp70* のプロモーターとターミネーターの配列を別々に PCR 法で増幅した。プロモーター用のプライマーは hspF (前述) と hspPR (5'-AAGGCCGCGCCTATTCAGAGTTCTCTCTTG-3') で、それぞれ、5' 側に *AscI* あるいは *FseI* で切断される配列が付加されている。ターミネーター用のプライマーは hspTF (5'-AAGGCCGCGCGTCTGACTAAGCCAAAGAGT-3') と hspTR (5'-AAAGATCTTCCTGACCGTCCATCGCAAT-3') で、それぞれ、5' 側に *FseI* あるいは *BglII* で切断される配列が付加されている。ふたつの PCR 産物を *FseI* で処理しリガーゼで連結した後、*AscI* および *BglII* で処理した。消化物を同様に制限酵素処理された pBac{3xP3-EGFPafm} に組

込み, DH5 $\alpha$  に取込んで増殖した. 増殖したベクターを精製後 *FseI* で処理し, 同じ制限酵素で処理した逆向き反復配列と連結した. こうして作成された pBac{EGFP-timIR} は SURE コンピテントセルに取込んで増殖し, Qiagen のキットで精製後, 組換え実験に用いた.

### 2.3 遺伝子組換え用ベクターの注入

遺伝子組換え用ベクター, pBac{EGFP-tim}あるいは pBac{EGFP-timIR} と, 転移酵素発現用のベクター (ヘルパーベクター), phspBac (Handler and Harrell, 1999) は, ともに注入緩衝液 (5 mM KCl, 0.1 mM NaH<sub>2</sub>PO<sub>4</sub>, pH 6.8) に溶解し, マイクロピペットを用いて, *C. costata* の初期胚に注入した. 強制発現用の pBac{EGFP-tim} は光周反応を失った非休眠系統に, ノックアウト用の pBac{EGFP-timIR} は光周反応を示す札幌産 (野生型) の初期胚に注入した. 初期胚は産卵後 1 時間以内に採取した胞胚期以前の胚を使用した. 胚をカバーガラス (5×18 mm) に貼付けた両面テープ上に整列し, 70%エタノールに 1 分間浸けて除菌した後, 実体顕微鏡のステージに固定した. マイクロピペットは外径 1 mm のガラスキャピラリー (GD-1, Narishige) をマイクロピペットプラー (PC-10, Narishige) で引いて作成した. 遺伝子組換え用ベクター (200 ng/ $\mu$ L) と転移酵素発現用ベクター (100 ng/ $\mu$ L) の混合液 2  $\mu$ L をマイクロピペットに充填し, マニピュレーター (MN-153, Narishige) に固定した. マイクロピペットを流動パラフィンで充填したインジェクター (IM-6, Narishige) につなぎ, 顕微鏡のステージとマニピュレーターを操作しながら, 初期胚の後端に遺伝子組換え用混合液 (10 nL) を注入した. 初期胚の後端には, 極細胞と呼ばれ後に生殖細胞に分化する細胞群がある. ショウジョウバエの遺伝子組換え体は, この極細胞の核 DNA に外来の遺伝子を組み込むことによって作成される.

### 2.4 遺伝子組換え体のスクリーニング

遺伝子組換えベクターを注入された初期胚は, 両面テープに貼付けたまま小型シャーレに移し寒天培地上で 25°C で培養した. 注入から 1 日後, 初期胚を 38°C で 30

分間熱処理して, 転移酵素発現用ベクターを活性化し遺伝子組換えを促進した. 孵化した幼虫はガラス管瓶 (外径 3 cm, 高さ 10 cm) に移し成虫まで寒天培地で飼育した. 羽化した成虫 (G 0 世代) 同士を雌雄 1 個体ずつ交配し次世代 (G 1 世代) を得た. G 1 世代の 2 齢および 3 齢幼虫を飼育瓶のガラス越しに簡易蛍光実体顕微鏡で観察し, 中枢神経系から緑色蛍光を発する個体を選別した. 簡易蛍光実体顕微鏡は, 青色発光ダイオード (NSPB500S, 日亜化学) を光源に使い, 古い実体顕微鏡の対物レンズに UV フィルターとしてサングラスのレンズを被せた簡便なものである. 選別した個体に由来する雌雄を継代飼育して組換え遺伝子がホモ接合 (homozygous) である系統を確立した.

### 2.5 組換え遺伝子の発現確認

確立された遺伝子組換え系統における遺伝子の発現は, 逆転写 PCR (RT-PCR) 法によって作成した cDNA の配列を解析して確認した. 蛹化間近な 3 齢幼虫を 38°C で 30 分間熱処理した後, 中枢神経系を含む前端部分を 10 個体集め, RNeasy (Qiagen) で総 RNA を抽出した. この RNA を鋳型にして, ThermoScript RT-PCR System (Invitrogen) で cDNA を作成した. プライマーには, Qt (5'-CCAGTGAGCAGAGTGACGAGGACTCGAGCTCAAGCTTTTTTTTTTTTTTTT-3') を使用した. 作成した cDNA を鋳型にして, *timeless* の組換え遺伝子を PCR 法で増幅した. プライマーには前述の timF と Qt および Qo (5'-CCAGTGAGCAGAGTGACG-3') を使用した. 組換え遺伝子 *timeless* の後端部の DNA 配列を BigDye Terminator v3.1 Cycle Sequencing Kit (Applied Biosystems) で増幅した. プライマーには timSF (5'-GCAGTCAGTTCCAAGCAGGC-3') を用いた. 配列の決定には, ABI PRISM 3100-Avant Genetic Analyzer を利用した.

## 3. 結果と考察

マエグロハシリショウジョウバエ *C. costata* を使った遺伝子組換え実験の組換え効率等を表 1 に示す. pBac{EGFP-tim} と pBac{EGFP-timIR} を構築するために

表 1: マエグロハシリショウジョウバエにおける遺伝子組換え効率

ベクター (Kbp)	初期胚	幼虫 (%)	蛹 (%)	成虫 (%)	G 1 組換え体 (%)	組換え系統 (%)	世代数*
pBac{EGFP}** (6.5)	800	152 (19.0)	128 (16.0)	68 (8.5)	15 (1.875)	1 (0.125)	42
pBac{EGFP-tim} (11.5)	954	174 (18.2)		84 (8.8)	1 (0.1)	1 (0.1)	30
pBac{EGFP-timIR} (8.2)	1320	146 (11.1)		78 (5.9)	3 (0.23)	2 (0.15)	16

\*2010 年 12 月現在の世代数

\*\*pBac{3xP3-EGFPafm} の略



用いた元ベクター、pBac{3xP3-EGFPafm}を初期胚に注入した場合、800卵の胚から152個体(19.0%)の幼虫が孵化した。しかし成虫に羽化したのは68個体(8.5%)であった。羽化した雌雄(G0世代)を1個体ずつ交配して得られたG1世代の幼虫を蛍光実体顕微鏡で観察して、中枢神経系から緑色蛍光を発する個体を選別した結果、15個体(1.875%)の遺伝子組換え体が得られた。鱗翅目昆虫のトランスポゾン、*piggyBac*を組込んだプラスミド型ベクターは、*C. costata*の遺伝子組換えにも有効であった。キイロショウジョウバエに由来する3xP3プロモーターも有効に働いて、緑色蛍光蛋白質を発現させた。しかし、このハシリショウジョウバエは、白眼のような、成虫でも緑色蛍光を識別できる系統を持たないので、遺伝子組換えのスクリーニングは幼虫でしか行えない。飼育瓶のガラス越しのスクリーニングでは見逃される組換え体もある。15個体の遺伝子組換え幼虫に由来する雌雄を1個体ずつ交配し、これを数世代繰り返して、ホモ接合な系統を確立した。この過程で、産卵数の少ない雌雄は除かれたので、確立された系統はひとつだけであった。

*timeless* cDNAの翻訳領域や逆向き反復配列をpBac{3xP3-EGFPafm}に組込んで組換え実験を行った場合、幼虫の孵化率(18.2, 11.1%)や成虫の羽化率(8.8, 5.9%)に大きな変化はなかったが、組換え率(0.1, 0.23%)は1/10近く減少した。組換えベクターのDNAサイズが大きくなる程、組換えが難しくなるものと思われる。結局、ホモ接合な組換え系統は、pBac{EGFP-tim}で1系統、pBac{EGFP-timIR}で2系統確立された。

pBac{EGFP-tim}を介して*timeless*の翻訳領域のcDNAが組込まれた、光周反応を示さない非休眠系統の幼虫では、38°C30分の熱処理後、*timeless* mRNAの発現が見られた。図1にRT-PCR産物をアガロース上で電気泳動した結果を示す。組換え系統を熱処理した場合、4Kbp付近に*timeless*に由来すると思われるPCR

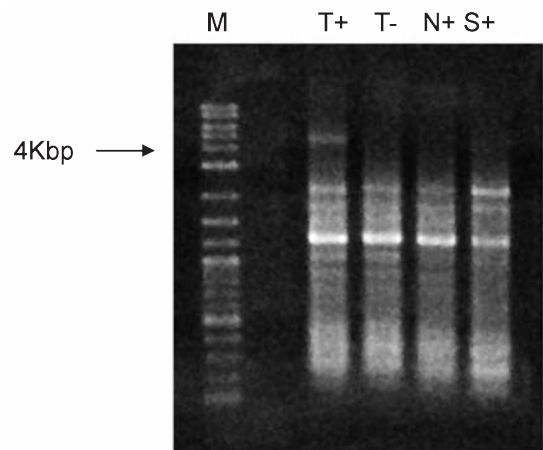


図1：マエグロハシリショウジョウバエの遺伝子組換え幼虫における*timeless*遺伝子の強制発現。図は、逆転写PCR(RT-PCR)産物のアガロース電気泳動図。M, 2-Log DNA Ladder (New England Biolabs), 矢印は4Kbpを示す；T, pBac{EGFP-tim}による遺伝子組換え系統, +は熱処理個体, -は非熱処理；N, 光周反応を示さない非休眠系統；S, 光周反応を示す札幌産野生型。

産物が確認できた。熱処理しなかった場合や非組換え系統では、*timeless*の発現は確認できなかった。キイロショウジョウバエ由来の*hsp70*のプロモーターはマエグロハシリショウジョウバエでも有効であった。

熱処理によって強制発現された*timeless* mRNA(cDNA)の配列は、図2に示すように、翻訳領域後端に続く非翻訳領域が*hsp70*のターミネーターの配列になっており、遺伝子組換えの事実がさらに確認できた。

## 謝辞

遺伝子組換え用ベクターの基礎となるベクターは次の方々から提供して頂きました。pBac{3xP3-EGFPafm}はByreuth大学のE. A. Wimmer氏の許可を得て、広島県産業科学研究所の富田正浩氏から提供して頂きました。pP{CaSpeR-hs}はHoward Hughes Medical Instituteの栗崎健氏から、pBac{EGFP-tim}はU. S. Department of

## >tim\_transgenic

```
CGGCATCTGTATACGAAAACGAGATGGCCAACCTGCGACAATATATCGATGGCTTCGGAT
CTAGAGCATATGTATGTCAGTGATGAGGAGGACACACATGAGATACATGAGCAGCGTGT
GCCCTACTATCATTGAGCGGCCGCGGTCTAGAAGGCCTAATTCAGCTGAGCGCCGGTC
GCTACCATTACCAGTTGGTCTGGTGTCTGGGGATCCGTGACTAAGGCCAAAGAGTCTAA
TTTTTGTTCATCAATGGGTTATAACATATGGGTTATATTATAAGTTTGTTTTAAGTTTT
TGAGACTGATAAGAATGTTTCGATCGAATATTCATAGAACAACAATAGTATTACCTAA
TTACCAAGTCTTAATTTAGCAAAAATGTTATTGCTTATAGAAAAAATAAATTTATTTATT
TGAAATTTAAAAA
```

図2：遺伝子組換え系統において強制発現させた*timeless* mRNA(cDNA)の塩基配列。緑色配列は、*timeless* 翻訳領域の後端。黒色配列は非翻訳領域で、pBac{EGFP-tim}中の*hsp70*ターミネーターの配列になっている。

Agriculture の A. M. Handler 氏から提供して頂きました。ご提供に深く感謝いたします。

## 参考文献

- Bünning, E. (1936) Die endonome Tagesrhythmik als Grundlage der photoperiodischen Reaktion. *Ber. Deut. Bot. Ges.*, **54**, 590-607.
- Handler, A. M., and R. A. Harrell (1999) Germline transformation of *Drosophila melanogaster* with the *piggyBac* transposon vector. *Insect Mol. Biol.*, **8**, 449-457.
- Horn, C., B. Jaunich, and E. A. Wimmer (2000) Highly sensitive, fluorescent transformation marker for *Drosophila* transgenesis. *Dev. Genes Evol.*, **210**, 623-629.
- Kostal, V., and K. Shimada (2001) Malfunction of circadian clock in the *non-photoperiodic-diapause* mutants of the drosophilid fly, *Chymomyza costata*. *J. Insect Physiol.*, **47**, 1269-1274.
- Pavelka, J., K. Shimada, and V. Kostal (2003) TIMELESS: A link between fly's circadian and photoperiodic clocks? *Eur. J. Entomol.*, **100**, 255-265.
- Riihimaa, A., and M. T. Kimura (1988) A mutant strain of *Chymomyza costata* (Diptera: Drosophilidae) insensitive to diapause-inducing action of photoperiod. *Physiol. Entomol.*, **13**, 441-445.
- Riihimaa, A., and M. T. Kimura (1989) Genetics of the photoperiodic larval diapause in *Chymomyza costata* (Diptera; Drosophilidae). *Hereditas*, **110**, 193-200.
- Stehlik, J., R. Zavodska, K. Shimada, I. Sauman, and V. Kostal (2008) Photoperiodic induction of diapause requires regulated transcription of *timeless* in the larval brain of *Chymomyza costata*. *J. Biol. Rhythms*, **23**, 129-139.